

Nowości w kryptografii

Andrzej Chmielowiec

30 maja 2012

Funkcje skrótu

Konkurs na SHA-3
FIPS 180-4

Klucze kryptograficzne

Dobry generator to podstawa bezpieczeństwa
Atak na krzywą eliptyczną
Atak na AES

Protokoły, standardy i produkty

Atak BEAST
Kradzież w RSA

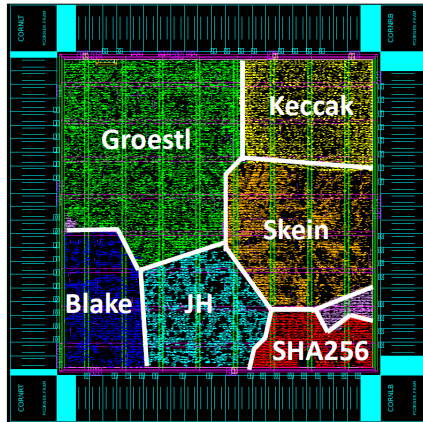
Podsumowanie

Zakończenie

Implementacja finalistów konkursu SHA-3 w układzie ASIC (1)

Algorytm	Przepustowość [Gbps]	Moc [mW]	Energia [mJ/Gbit]
BLAKE-256	2.13	19.77	25.00
Grosth-256	9.31	139.29	33.70
JH-256	3.05	13.01	20.63
Keccak-256	10.67	19.78	8.96
Skein512-256	3.05	51.09	26.04
SHA256	1.51	5.05	13.76

Implementacja finalistów konkursu SHA-3 w układzie ASIC (2)



Nowy FIPS 180

W marcu 2012 roku NIST opublikował nową wersję standardu FIPS 180. Dokument FIPS 180-4 wprowadza dwie funkcje skrótów:

- ▶ SHA512/224,
- ▶ SHA512/256.

Czego mężczyźni szukają w Internecie?

Czego mężczyźni szukają w Internecie?

- ▶ Zdjęć (2%),

Czego mężczyźni szukają w Internecie?

- ▶ Zdjęć (2%),
- ▶ Filmów (8%),

Czego mężczyźni szukają w Internecie?

- ▶ Zdjęć (2%),
- ▶ Filmów (8%),
- ▶ ... (89.9999999%),

Czego mężczyźni szukają w Internecie?

- ▶ Zdjęć (2%),
- ▶ Filmów (8%),
- ▶ ... (89.9999999%),
- ▶ Kluczy publicznych (0.0000001%)

Czego mężczyźni szukają w Internecie?

- ▶ Zdjęć (2%),
- ▶ Filmów (8%),
- ▶ ... (89.9999999%),
- ▶ Kluczy publicznych (0.0000001%) – Arjen Lenstra, James Hughes, Maxime Augier, Joppe Bos, Thorsten Kleinjung, Christophe Wachter.

Co można znaleźć w Internecie?

Co można znaleźć w Internecie?



Co można znaleźć w Internecie?



- ▶
- ▶ 6.600.000 kluczy publicznych RSA

Co można zrobić ze znalezionymi modułami RSA?

Co można zrobić ze znalezionymi modułami RSA?

- ▶ 99.8% – możemy wydrukować.

Co można zrobić ze znalezionymi modułami RSA?

- ▶ 99.8% – możemy wydrukować.
- ▶ **0.2% – możemy rozłożyć na czynniki!**

Postępy w znajdowaniu logarytmu dyskretnego na krzywej eliptycznej

Za około 2.000.000 PLN można zakupić zestaw pozwalający na łamanie kluczy na 130-bitowych krzywych w ciągu jednego roku.

Postępy w znajdowaniu logarytmu dyskretnego na krzywej eliptycznej

Za około 2.000.000 PLN można zakupić zestaw pozwalający na łamanie kluczy na 130-bitowych krzywych w ciągu jednego roku.

W skład zestawu wchodzi:

Postępy w znajdowaniu logarytmu dyskretnego na krzywej eliptycznej

Za około 2.000.000 PLN można zakupić zestaw pozwalający na łamanie kluczy na 130-bitowych krzywych w ciągu jednego roku.

W skład zestawu wchodzi:

- ▶ mała Cola,

Postępy w znajdowaniu logarytmu dyskretnego na krzywej eliptycznej

Za około 2.000.000 PLN można zakupić zestaw pozwalający na łamanie kluczy na 130-bitowych krzywych w ciągu jednego roku.

W skład zestawu wchodzi:

- ▶ mała Cola,
- ▶ frytki,

Postępy w znajdowaniu logarytmu dyskretnego na krzywej eliptycznej

Za około 2.000.000 PLN można zakupić zestaw pozwalający na łamanie kluczy na 130-bitowych krzywych w ciągu jednego roku.

W skład zestawu wchodzi:

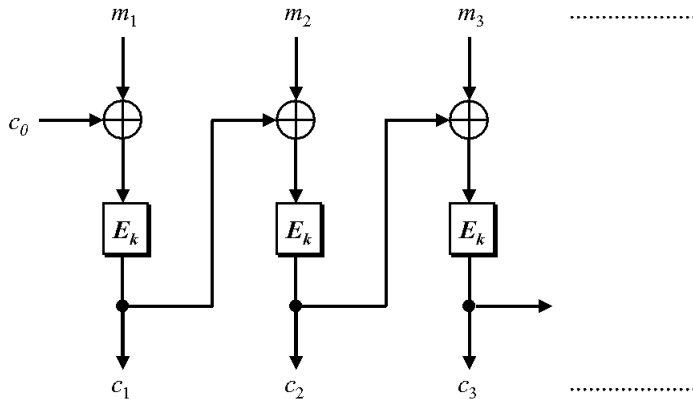
- ▶ mała Cola,
- ▶ frytki,
- ▶ 1.100 kart graficznych GTX 295.

Biclique - czyli, jak w teorii złamano AES

W 2011 roku Andrey Bogdanov, Dmitry Khovratovich i Christian Rechberger zaprezentowali pierwszy atak na szyfr AES.

Szyfr	Dane	Złożoność ataku	Pamięć
AES-128	2^{88}	$2^{126.18}$	2^8
AES-192	2^{80}	$2^{189.74}$	2^8
AES-256	2^{40}	$2^{254.42}$	2^8

Tryb CBC - schemat



Tryb CBC - oznaczenia

- ▶ $E_k(m)$ – funkcja szyfrująca pojedynczy blok m przy użyciu klucza k ,
- ▶ $D_k(c)$ – funkcja deszyfrująca pojedynczy blok c przy użyciu klucza k ,
- ▶ m_1, \dots, m_n – kolejne bloki tekstu jawnego,
- ▶ c_1, \dots, c_n – kolejne bloki szyfrogramu,
- ▶ c_0 – wektor początkowy.

Tryb CBC - szyfrowanie i deszyfrowanie

Proces szyfrowania w trybie CBC wyraża się następującą zależnością rekurencyjną:

$$\blacktriangleright c_i = E_k(m_i \oplus c_{i-1}).$$

Natomiast proces deszyfrowania CBC wyraża się wzorem:

$$\blacktriangleright m_i = D_k(c_i) \oplus c_{i-1}.$$

Atak na tryb CBC (1)

Rozważmy teraz scenariusz, w którym implementacja SSL/TLS wykorzystuje ostatni szyfrogram, jako wektor początkowy dla kolejnego rekordu. W takiej sytuacji każdy, kto obserwował ostatni zaszyfrowany rekord $(c_0, c_1, \dots, c_\ell)$ będzie znał wektor początkowy użyty do szyfrowania kolejnego rekordu.

Założmy, że atakujący ma pewną hipotezę dotyczącą bloku m_j . Atakujący przypuszcza, że wartość m_j jest równa m^* . Jeśli atakujący *zmusi* użytkownika, aby na początku kolejnego rekordu zaszyfrował wiadomość:

$$m' = c_{j-1} \oplus c_\ell \oplus m^*,$$

to zweryfikuje prawdziwość swojej hipotezy.

Atak na tryb CBC (2)

$$\begin{aligned} E_k(m' \oplus c_\ell) &= E_k((c_{j-1} \oplus c_\ell \oplus m^*) \oplus c_\ell) \\ &= E_k(c_{j-1} \oplus m^*) \\ &= c'. \end{aligned}$$

Porównując szyfrogram c' z szyfrogramem $c_j = E_k(m_j \oplus c_{j-1})$ atakujący może stwierdzić, że jego hipoteza jest poprawna jeśli $c' = c_j$.

Atak BEAST

Duong i Rizzo zaproponowali rozwinięcie ataku na tryb CBC stosowany w protokole SSL/TLS. Aby to zrobić wykorzystali nowe funkcjonalności oferowane przez przeglądarki i strony WWW. Mechanizmy wymienione poniżej mogą zostać wykorzystane do przeprowadzenia bardzo praktycznego ataku na tryb CBC szyfru blokowego:

- ▶ Javascript XMLHttpRequest API,
- ▶ HTML5 WebSocket API,
- ▶ Flash URLRequest API,
- ▶ Java Applet URLConnection API,
- ▶ Silverlight WebClient API.

Ochrona przed atakiem BEAST

Aktualnie najpewniejszym sposobem na neutralizację zagrożenia jest rezygnacja po stronie serwera z obsługi protokołów SSL 3.0, TLS 1.0 i przejście na protokoły TLS 1.1 i TLS 1.2.

Kradzież ziaren do tokenów SecurID

W 2011 roku firma RSA poinformowała swoich klientów o włamaniu, którego skutkiem była między innymi kradzież ziaren (kluczy prywatnych) do tokenów SecurID. Dostęp do kluczy oraz informacja na temat algorytmu generowania kodów pozwalają symulować działanie określonego urządzenia.



Wniosek na przyszłość

**Jeśli dwie osoby mają dochować tajemnicy,
to jedna musi jej nie znać!**

Dziękuję za uwagę.